

III-19 砂の弾・塑性変形(その1)

都立大工学部 正会員 小林慶夫

1 まえがき 砂の破壊以前の変形特性を砂粒子一つの弾性変形特性、静止マサツ係数などに粒子配列の変化によって説明できないかと考えている。今回は、等球モデルを用いて、特に最終状態である破壊時に粒子が一様な配列をするという仮定について検討する。すなわち、初期の間隔比 α をもつ、 f 、 j のよう、正球形の粒子の集合を考える。初め静水圧のかかりで α の状態に、一定方向から $\sigma_x > \sigma_y$ ($\sigma_z = \text{一定}$) なる力が徐々に加わると、よりすばりやすくなり接点ですべりが生じるであろう。残りのより強い粒子接点も順次すべり、結局、弱い粒子接点は、そのヒカヒカで応力 σ_x に耐える強さに等しいか、それ以上の強さをもつ位置に落ちてしまう。しかるに、破壊時には応力 σ_x が最大となる以上他の応力に耐えられないのである。すべての粒子は一様な接点の強さをもつ、すなわち、一様な粒子配列をもつことになるであろう。この仮定のもとに、最密の粒子配列が一定方向に一様につぶれてゆく場合の主応力比と間隔比関係の計算結果と拘束のない両端をもつ等側圧排水三軸圧縮試験の結果と比較してみた。

2 等球モデルによる砂の主応力比 σ_x/σ_y と間隔比 α との関係

粒子配列として最密の Tetrahedral-closed packed hexagonal array を考る。図-1で、この粒子配列の一部を示す。

球の半径を R とする。紙面に鉛直方向を I-I 方向、また II-II 方向、III-III 方向を図のようにとる。

I-I 方向に垂直な面を I-I 面などとする。この面で一球あたりが占める面積は

$$\text{面積 } S_{I_0} = \frac{6}{2} \times (\overline{AM}) \times (\overline{AM} \sin 60^\circ) = 2\sqrt{3} R^2,$$

$$\text{粒子にかかる力 } L_{I_0} = \sigma_i \times S_{I_0} = 2\sqrt{3} R^2 \sigma_i.$$

I-I 方向に力を受けて、上球が下球に相対的に $M' - M$ の倍だけ沈みこんだときとすると、図-2 により

$$AM' = \sqrt{(mA)^2 - (mM')^2} = \sqrt{1 - \frac{2}{3}(1-\Delta)^2} \cdot 2R.$$

だから、一球あたりの占める面積は

$$\text{面積 } S_I = \frac{6}{2} \times (\overline{AM'}) \times (\overline{AM'} \sin 60^\circ) = 6\sqrt{3} \left\{ 1 - \frac{2}{3}(1-\Delta)^2 \right\} R^2,$$

$$\text{粒子にかかる力 } L_I = \sigma_i \times S_I = 6\sqrt{3} \left\{ 1 - \frac{2}{3}(1-\Delta)^2 \right\} R^2 \sigma_i.$$

III-III 面を示す図-4 から、一球あたりが占める面積は

$$\text{面積 } S_{III} = 2\overline{MM'} \times 2\overline{AM'} \sin 60^\circ = 4\sqrt{2}(1-\Delta) \sqrt{1 - \frac{2}{3}(1-\Delta)^2} R^2,$$

$$\text{粒子にかかる力 } L_{III} = 2\sigma_i \times S_{III} = 8\sqrt{2}(1-\Delta) \sqrt{1 - \frac{2}{3}(1-\Delta)^2} R^2 \sigma_i.$$

粒子配列の一単位を図-3、図-4 の太線で囲まれた六角柱とすると、その体積は。

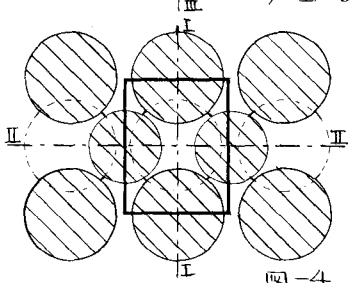
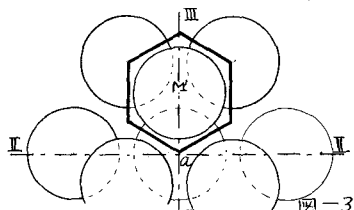
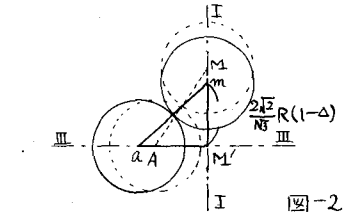
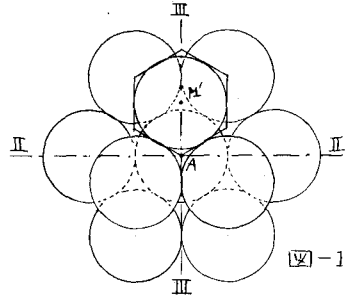
$$V = S_I \times 2(\overline{MM'}) = 24\sqrt{2} \left\{ 1 - \frac{2}{3}(1-\Delta)^2 \right\} (1-\Delta) R^3.$$

この六角柱の中には、球が二つあるので、間隔比 α は、

$$\alpha = \frac{V - \frac{8}{3}\pi R^3}{\frac{8}{3}\pi R^3} = \frac{9\sqrt{2}}{\pi} \left\{ 1 - \frac{2}{3}(1-\Delta)^2 \right\} (1-\Delta) - 1. \quad \cdots (1)$$

上下二球の間の力のつり合いを考える。図-5 で接点 S に働く鉛直方向の力は、

$$|\overrightarrow{QR}| = \frac{1}{3} \times L_I = 2\sqrt{3} \left\{ 1 - \frac{2}{3}(1-\Delta)^2 \right\} R^2 \sigma_i.$$



水平方向の力は。

$$|\overrightarrow{RQT}| = \frac{1}{2} \times L_{III} = 4\sqrt{2}(1-\Delta) \sqrt{1 - \frac{2}{3}(1-\Delta)^2} \cdot R^2 T_3.$$

ゆえに、力 $|\overrightarrow{QTS}|$, $\angle RQT$, $\angle TQS$ は、 θ を図-5 のようだとると、

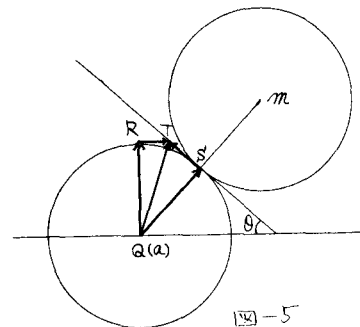
$$|\overrightarrow{QTS}| = \sqrt{[2\beta(1-\frac{2}{3}(1-\Delta)^2)R^2 T_1]^2 + [4\sqrt{2}(1-\Delta)\sqrt{1-\frac{2}{3}(1-\Delta)^2} \cdot R^2 T_3]^2},$$

$$\angle RQT = \tan^{-1} \frac{|\overrightarrow{RQT}|}{|\overrightarrow{QTS}|} = \tan^{-1} \frac{2\sqrt{2}(1-\Delta) \frac{T_3}{T_1}}{\sqrt{3-2(1-\Delta)^2}},$$

$$\angle TQS = \frac{\pi}{2} - (\frac{\pi}{2} - \theta) - \angle RQT = \theta - \tan^{-1} \frac{2\sqrt{2}(1-\Delta) \frac{T_3}{T_1}}{\sqrt{3-2(1-\Delta)^2}}. \quad \dots (2)$$

ただし、 θ は図-2 から、

$$\tan \theta = \frac{AM'}{MM'} = \frac{\sqrt{3}-2(1-\Delta)^2}{\sqrt{2}(1-\Delta)}. \quad \dots (3)$$



したがって、接点 S に働く半径方向の力を L_r , 接線方向の力を L_θ とすると、

$$L_r = |\overrightarrow{QTS}| \cos \angle TQS,$$

$$L_\theta = |\overrightarrow{QTS}| \sin \angle TQS.$$

粒子の静止マツカツ係数を μ とすると、

$$(\mu L_r)^2 - (L_\theta)^2 = 0.$$

がみたされるとさすがにはじめるから、

$$\mu^2 \cos^2 \angle TQS - \sin^2 \angle TQS = 0.$$

ゆえに、

$$\cos \angle TQS = \pm \sqrt{\frac{1}{1+\mu^2}} \quad \dots (4)$$

したがって、式(2), (3), (4) おより

$$\tan^{-1} \frac{2\sqrt{3}-2(1-\Delta)^2}{2\sqrt{2}(1-\Delta)} = \tan^{-1} \frac{2\sqrt{2}(1-\Delta) \frac{T_3}{T_1}}{\sqrt{3-2(1-\Delta)^2}} + \cos^{-1} \frac{1}{\sqrt{1+\mu^2}}. \quad \dots (5)$$

3. 実験方法

側圧一定の排水三軸圧縮試験

ヒズミ速度 4×10^{-4} /分

試料 豊浦標準砂 比重 2.65

(水で飽和) 相馬標準砂 " 2.62

ガラスビーズ " 2.47 $\phi = 0.2$ mm

" " " $\phi = 1$ mm

供試体寸法 $\phi 50$ mm, 高さ 110 mm.

供試体成形 密づめ 5層 各層5回突き固め。

ゆるづめ 水中に試料を落下させた。

供試体下下面をシリコニアリス塗布ゴム膜で押さえ、横方向には自由に広がれるようになした。

4. 結果 計算と実験から得た間けき比 e_0 と主応力比 σ_1/σ_3 の関係を図-6に示す。図中の μ をパラメーターとする実験は、式(1), 式(5)を図表化したものから読みとて。また、初期間けき比 e_0 と破壊時の間けき比 e_f との関係を図-7に示す。

5. むすび 以上の結果から、粒径のよくそろった 初期間けき

比が 0.50 ~ 0.80 をもつ砂では、始めの粒子配列の如何にかかわらず、主応力比 σ_1/σ_3 が最大の点で、粒度分布が一様になるとする仮定が一つの規準になるものと思われる。

おわりに、日頃、討論を通じて種々の示唆をいただき、励ましてくれた 本学湯川欽史助教授に謝意を表します。

1) 最上武雄編著 土質力学 P.907 (1969).

